

А.І. Білоцький, аспір.
Житомирський інженерно-технологічний інститут

ВИПРОМІНЮВАННЯ З ВІДКРИТОГО КІНЦЯ ХВИЛЕВОДУ З НЕСКІНЧЕННИМ ФЛАНЦЕМ

Запропонований загальний метод розв'язання задачі про випромінювання електромагнітної хвилі з відкритого кінця хвилеводу з фланцем. Розраховані діаграми напрямленості відкритого кінця прямокутного хвилеводу з фланцями з різними електричними параметрами.

Хвилеводні випромінювачі в даний час широко використовуються і як окремі антени, і як опромінювачі антен, і як елементи антенних решіток. У той же час задача про випромінювання з відкритого кінця хвилеводу з фланцем досі аналітично не розв'язана, хоча існують чисельні розв'язки цієї задачі для різних типів хвилеводів. Наприклад, у роботі [1] чисельно досліджено випромінювання електромагнітної хвилі з прямокутного хвилеводу з ідеально провідним фланцем.

В загальній постановці задача, що розглядається, формулюється наступним чином: необхідно визначити діаграму напрямленості (ДН) відкритого кінця хвилеводу довільного поперечного перерізу з фланцем нескінченної довжини та нескінченної товщини, тобто необхідно визначити ДН хвилеводу, який знаходиться у напівнескінченному середовищі з довільними значеннями діелектричної ϵ та магнітної μ проникностей (рис. 1).

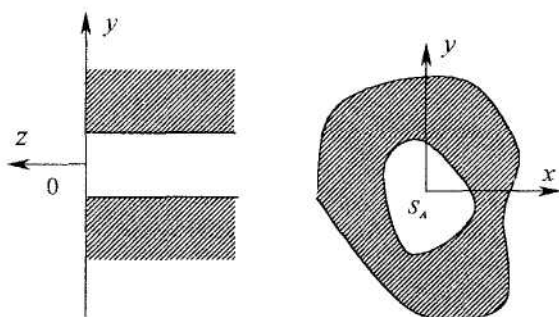


Рис. 1

В такій постановці задача зводиться до відомої задачі знаходження ДН антени з апертурою S_A у присутності відбиваючої поверхні за відомими значеннями тангенціальних складових поля на апертурі \vec{E}_t , \vec{H}_t [2]. Напруженість електричного поля, створювана такою антеною у довільній точці простору M , дорівнює [2]:

$$E(M) = \int_{S_A} ([\vec{E}_t, \vec{H}_t] - [\vec{E}_1, \vec{H}_t]) \vec{n} dS, \quad (1)$$

де \vec{E}_1 , \vec{H}_1 – поле, створюване елементарним електричним вібратором із заданою поляризацією, розташованим у точці M ; \vec{n} – зовнішня нормаль до S_A .

Якщо точка M знаходиться у дальній зоні, то поле \vec{E}_1 , \vec{H}_1 , створюване допоміжним джерелом – у даному разі електричним вібратором, – можна вважати плоскою хвилею, яка падає на розкрив S_A , враховуючи її дифракцію на нескінченному фланці.

Відмітимо, що для більшої зручності вираз (1) може бути записаний у наступному вигляді:

$$E(M) = \int_{S_A} ([\vec{E}_t, \vec{H}_{1r}] - [\vec{E}_{1r}, \vec{H}_t]) \vec{n} dS, \quad (2)$$

де \vec{E}_{1r} , \vec{H}_{1r} – тангенціальні складові векторів \vec{E}_1 , \vec{H}_1 .

Окремо розглянемо задачу дифракції плоскої хвилі на нескінченному фланці (на межі розділу середовищ).

Перпендикулярна поляризація (рис. 2).

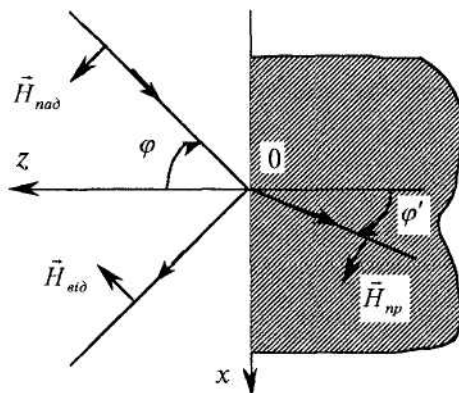


Рис. 2

Падаюча на фланець плоска хвиля створює поле:

$$\vec{E}_{n\text{ad}} = Z_0 H_0 \vec{e}_y e^{-ik(x \sin \varphi - z \cos \varphi)}; \quad \vec{H}_{n\text{ad}} = H_0 (\cos \varphi \vec{e}_x + \sin \varphi \vec{e}_z) e^{-ik(x \sin \varphi - z \cos \varphi)}, \quad (3)$$

де Z_0 – хвильовий опір вакууму; $k = 2\pi/\lambda$, λ – довжина хвилі у вакуумі; H_0 – амплітуда падаючої хвилі; \vec{e}_x , \vec{e}_y , \vec{e}_z – орти координатних осей.

При цьому виникає відбиття поле:

$$\vec{E}_{s\text{id}} = Z_0 R_{\perp} H_0 \vec{e}_y e^{-ik(x \sin \varphi + z \cos \varphi)}, \quad \vec{H}_{s\text{id}} = R_{\perp} H_0 (-\cos \varphi \vec{e}_x + \sin \varphi \vec{e}_z) e^{-ik(x \sin \varphi + z \cos \varphi)}. \quad (4)$$

Сумарне поле, створюване допоміжним джерелом, дорівнює:

$$\begin{aligned} \vec{E}_1 &= \vec{E}_{n\text{ad}} + \vec{E}_{s\text{id}} = Z_0 H_0 (e^{ikz \cos \varphi} + R_{\perp} e^{-ikz \cos \varphi}) e^{-ikx \sin \varphi} \vec{e}_y; \\ \vec{H}_1 &= \vec{H}_{n\text{ad}} + \vec{H}_{s\text{id}} = H_0 \cos \varphi (e^{ikz \cos \varphi} - R_{\perp} e^{-ikz \cos \varphi}) e^{-ikx \sin \varphi} \vec{e}_x + \\ &+ H_0 \sin \varphi (e^{ikz \cos \varphi} + R_{\perp} e^{-ikz \cos \varphi}) e^{-ikx \sin \varphi} \vec{e}_z. \end{aligned} \quad (5)$$

Нас цікавлять лише тангенціальні складові цього поля у площині розкриву, тобто при $z = 0$:

$$\vec{E}_{1r} \Big|_{z=0} = Z_0 H_0 (1 + R_{\perp}) e^{-ikx \sin \varphi} \vec{e}_y; \quad \vec{H}_{1r} \Big|_{z=0} = H_0 \cos \varphi (1 - R_{\perp}) e^{-ikx \sin \varphi} \vec{e}_x. \quad (6)$$

Значення коефіцієнта відбиття відоме [3]:

$$R_{\perp} = \frac{Z \cos \varphi - Z_0 \cos \varphi'}{Z \cos \varphi + Z_0 \cos \varphi'}, \quad (7)$$

де $\cos \varphi' = \sqrt{1 - \left(\frac{k}{k'}\right)^2 \sin^2 \varphi}$; $k' = k \sqrt{\varepsilon \mu}$ – стала поширення хвилі у матеріалі фланця;

$$Z = Z_0 \sqrt{\frac{\mu}{\varepsilon}} \text{ – імпеданс фланця.}$$

Паралельна поляризація (рис. 3).

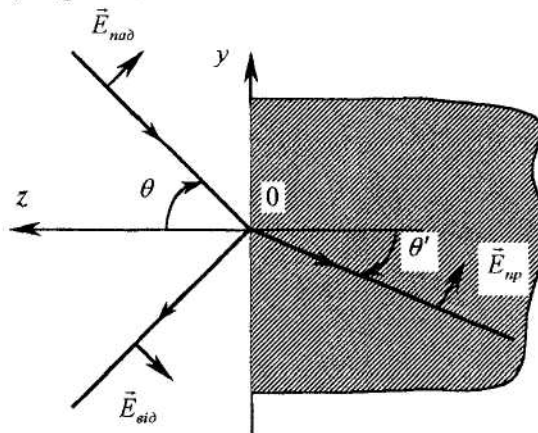


Рис. 3

Падаюча плоска хвиля:

$$\vec{E}_{nad} = Z_0 H_0 (\cos \theta \vec{e}_y - \sin \theta \vec{e}_z) e^{ik(y \sin \theta + z \cos \theta)}; \quad \vec{H}_{nad} = H_0 \vec{e}_x e^{ik(y \sin \theta + z \cos \theta)}. \quad (8)$$

Відбита хвиля:

$$\vec{E}_{sid} = -Z_0 R_{\parallel} H_0 (\cos \theta \vec{e}_y + \sin \theta \vec{e}_z) e^{ik(y \sin \theta - z \cos \theta)}; \quad \vec{H}_{sid} = R_{\parallel} H_0 \vec{e}_x e^{ik(y \sin \theta - z \cos \theta)}. \quad (9)$$

Сумарне поле допоміжного джерела:

$$\begin{aligned} \vec{E}_1 &= \vec{E}_{nad} + \vec{E}_{sid} = Z_0 H_0 \cos \theta (e^{ikz \cos \theta} - R_{\parallel} e^{-ikz \cos \theta}) e^{iky \sin \theta} \vec{e}_y - \\ &- Z_0 H_0 \sin \theta (e^{ikz \cos \theta} + R_{\parallel} e^{-ikz \cos \theta}) e^{iky \sin \theta} \vec{e}_z; \\ \vec{H}_1 &= \vec{H}_{nad} + \vec{H}_{sid} = H_0 (e^{ikz \cos \theta} + R_{\parallel} e^{-ikz \cos \theta}) e^{iky \sin \theta} \vec{e}_x. \end{aligned} \quad (10)$$

Тангенціальні складові цього поля у площині розкриву:

$$\vec{E}_{1r} \Big|_{z=0} = Z_0 H_0 (1 - R_{\parallel}) \cos \theta e^{iky \sin \theta} \vec{e}_y; \quad \vec{H}_{1r} \Big|_{z=0} = H_0 (1 + R_{\parallel}) e^{iky \sin \theta} \vec{e}_x. \quad (11)$$

Значення коефіцієнта відбиття в цьому випадку [3]:

$$R_{\perp} = \frac{Z_0 \cos \theta - Z \cos \theta'}{Z_0 \cos \theta + Z \cos \theta'}, \quad (12)$$

де $\cos \theta' = \sqrt{1 - \left(\frac{k}{k'}\right)^2 \sin^2 \theta}$.

Після проведеного розгляду дифракції поля допоміжного джерела на нескінченному фланці можна перейти безпосередньо до визначення ДН шуканої структури. Зупинимося на визначенні ДН відкритого кінця прямокутного хвилеводу з нескінченим фланцем (рис.4).

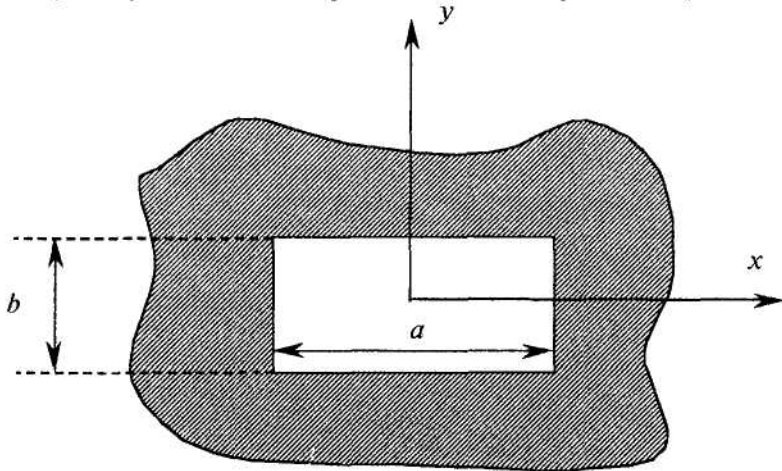


Рис. 4

Будемо вважати, що складові поля на розкриві хвилеводу дорівнюють полю хвилі H_{10} без врахування відбиття від розкриву [3]:

$$\begin{aligned} \vec{E}_r \Big|_{z=0} &= \frac{i \omega \mu_0 a}{\pi} H_m \cos \frac{\pi x}{a} \vec{e}_y; \\ \vec{H}_r \Big|_{z=0} &= -\frac{i \beta a}{\pi} H_m \cos \frac{\pi x}{a} \vec{e}_x, \end{aligned} \quad (13)$$

де $\beta = k \sqrt{1 - \left(\frac{\lambda}{2a}\right)^2}$ – стала поширення у хвилеводі; H_m – амплітуда хвилі у хвилеводі.

Для знаходження ДН відкритого кінця прямокутного хвилеводу у Н-площині необхідно в (2) підставити значення полів (6) та (13), враховуючи, що $\vec{n} = \vec{e}_z$. В результаті отримуємо:

$$\begin{aligned}
 E(\varphi) &= \int_{-a/2}^{a/2} \int_{-b/2}^{b/2} \frac{ia}{\pi} H_m H_0 e^{-ikx \sin \varphi} \cos \frac{\pi x}{a} [\omega \mu_0 \cos \varphi (1 - R_\perp) - Z_0 \beta (1 + R_\perp)] dx dy = \\
 &= 2iH_0 H_m b \frac{\cos\left(\frac{1}{2}ka \sin \varphi\right)}{k^2 \sin^2 \varphi - (\pi/a)^2} [Z_0 \beta (1 + R_\perp) + \omega \mu_0 (1 - R_\perp) \cos \varphi].
 \end{aligned} \quad (14)$$

Таким чином, ДН прямокутного хвилеводу з нескінченим фланцем у Н-площині описується функцією:

$$f_H(\varphi) = \frac{\cos\left(\frac{1}{2}ka \sin \varphi\right)}{k^2 \sin^2 \varphi - (\pi/a)^2} [Z_0 \beta (1 + R_\perp) + \omega \mu_0 (1 - R_\perp) \cos \varphi]. \quad (15)$$

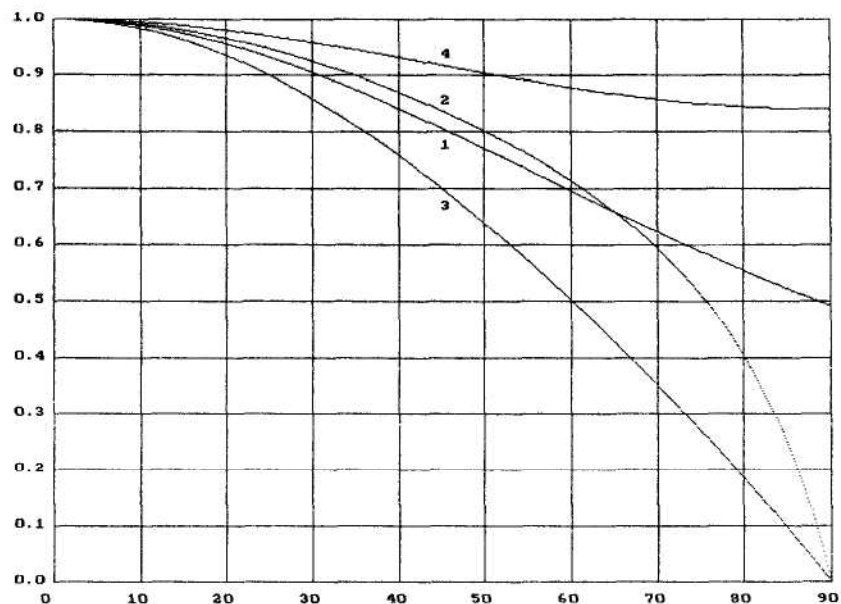


Рис. 5

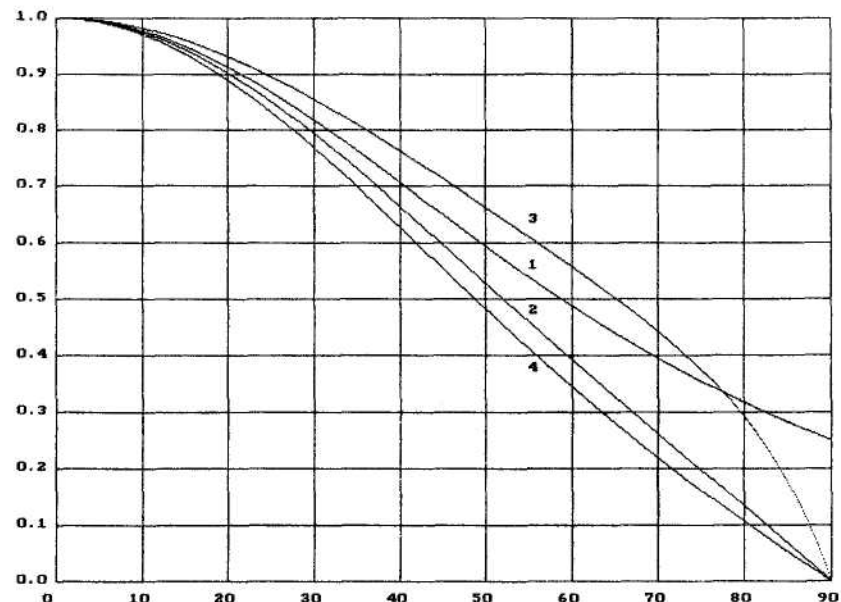


Рис. 6

При $R_\perp = 0$ (фланець відсутній) формула (15) переходить у відому формулу для ДН відкритого кінця прямокутного хвилеводу [4]:

$$f_H(\varphi) = \omega\mu_0 \left(\sqrt{1 - \left(\frac{\lambda}{2a} \right)^2} + \cos \varphi \right) \frac{\cos\left(\frac{1}{2}ka \sin \varphi\right)}{k^2 \sin^2 \varphi - (\pi/a)^2}. \quad (16)$$

Для знаходження ДН відкритого кінця прямокутного хвилеводу у Е-площині необхідно в (2) підставити значення полів (11) та (13). В результаті маємо:

$$\begin{aligned} E(\theta) &= \int_{-a/2}^{a/2} \int_{-b/2}^{b/2} \frac{ia}{\pi} H_m H_0 e^{iky \sin \theta} \cos \frac{\pi x}{a} [\omega\mu_0(1+R_{||}) + Z_0\beta(1-R_{||}) \cos \theta] dx dy = \\ &= -4i \left(\frac{a}{\pi} \right)^2 H_0 H_m \frac{\sin\left(\frac{1}{2}kb \sin \theta\right)}{k \sin \theta} [Z_0\beta(1-R_{||}) \cos \theta + \omega\mu_0(1+R_{||})]. \end{aligned} \quad (17)$$

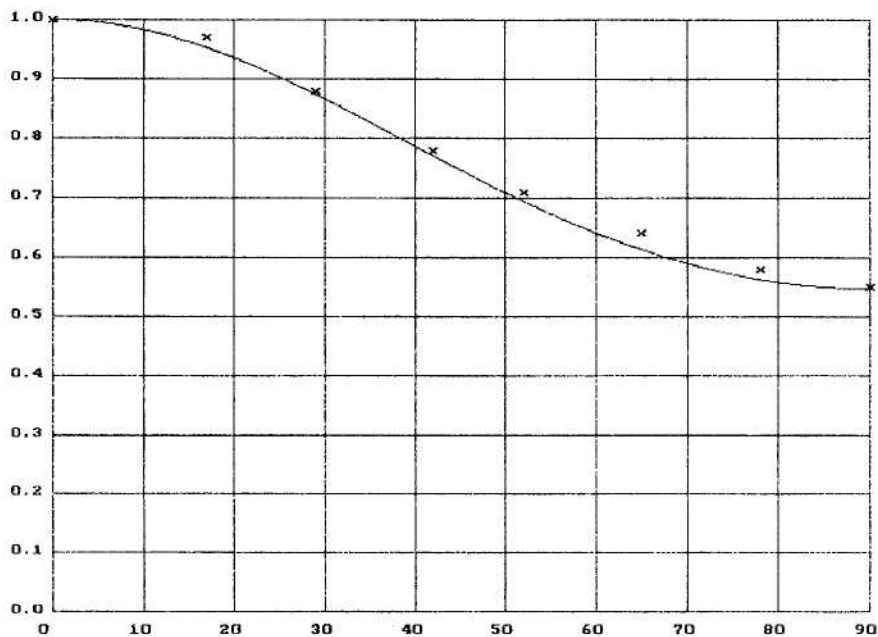


Рис. 7

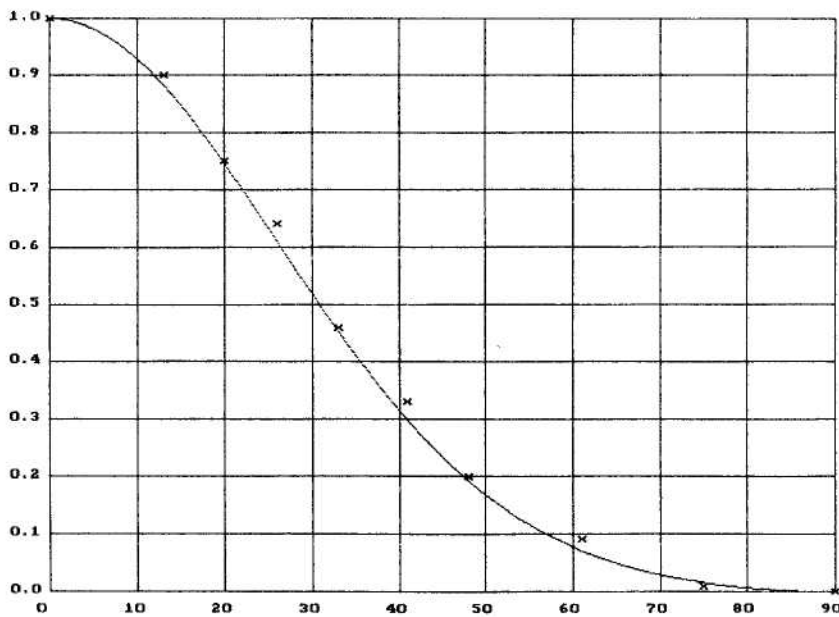


Рис. 8

Таким чином, ДН прямокутного хвилеводу з нескінченим фланцем у Е-площині описується функцією:

$$f_E(\theta) = \frac{\sin\left(\frac{1}{2}kb \sin \theta\right)}{k \sin \theta} [Z_0 \beta (1 - R_{||}) \cos \theta + \omega \mu_0 (1 + R_{||})]. \quad (18)$$

При $R_{||} = 0$ (фланець відсутній) формула (18) переходить у відому формулу для ДН відкритого кінця прямокутного хвилеводу [4]:

$$f_E(\theta) = \omega \mu_0 \left(1 + \sqrt{1 - \left(\frac{\lambda}{2a} \right)^2} \cos \theta \right) \frac{\sin\left(\frac{1}{2}kb \sin \theta\right)}{k \sin \theta}. \quad (19)$$

На рис. 5 та рис. 6 наведені ДН в Е- та Н-площині відкритого кінця прямокутного хвилеводу розміром $a \times b = 0,71\lambda \times 0,32\lambda$ ($\lambda = 3,2$ см) з нескінченими металічними та діелектричними фланцями з різними параметрами діелектричної та магнітної проникностей. Крива 1 відповідає випадку відсутності фланця (абсолютно чорний фланець); крива 2 – фланцю з параметрами $\epsilon = 10$, $\mu = 1$; крива 3 – фланцю з параметрами $\epsilon = 1$, $\mu = 10$; крива 4 – ідеально провідному фланцю. З графіків видно, що збільшення діелектричної проникності фланця призводить до звуження ДН в Н-площині та розширення її в Е-площині. Збільшення ж магнітної проникності фланця призводить до протилежного ефекту: ДН розширяється в Н-площині та звужується в Е-площині.

На рис. 7 та рис. 8 наведені ДН по потужності ($E^2(\theta)$ та $E^2(\phi)$) в Е- та Н-площині відкритого кінця прямокутного хвилеводу розміром $a \times b = 0,878\lambda \times 0,415\lambda$ ($\lambda = 3,2$ см) з нескінченим металічним фланцем. Суцільна крива відповідає ДН, розрахованім за формулами, отриманими у даній роботі, хрестиками нанесені ДН, наведені у роботі [1]. Маємо, що відповідні графіки збігаються з високим ступенем точності. Однак у роботі [1] результати були отримані складним чисельним розрахунком і ніяких, навіть наближених, аналітичних співвідношень наведено не було. В той же час у даній роботі отримані досить прості аналітичні співвідношення, що призводять до тих же результатів.

ЛІТЕРАТУРА:

1. Виниченко Ю.П., Леманский А.А., Митяшов М.Б. К задаче об излучении электромагнитной волны из открытого конца прямоугольного волновода // Радиотехника и электроника. – 1983. – № 10. – С. 2064–2066.
2. Захарьев Л.Н., Леманский А.А., Щеглов К.С. Теория излучения поверхностных антенн. – М.: Сов. радио, 1969. – 212 с.
3. Вольман В.И., Пименов Ю.В. Техническая электродинамика. – М.: Связь, 1971. – 487 с.
4. Ямайкин В.Е., Северьянов В.Ф., Кишкунов В.К., Рунов А.В. Антенные устройства. – Минск: МВИРТУ, 1965. – 531 с.

БІЛОЦЬКИЙ Андрій Іванович – аспірант кафедри медичних приладів та систем Житомирського інженерно-технологічного інституту.

Наукові інтереси:

- технічна електродинаміка;
- пристрой НВЧ та антени.